

СИБИРСКОЕ ОТДЕЛЕНИЕ АН СССР
ИНСТИТУТ ЯДЕРНОЙ ФИЗИКИ

В.Е.Теряев

ЧИСЛЕННЫЙ РАСЧЁТ СТАЦИО-
НАРНЫХ ПОЛЕЙ С НЕЛИНЕЙНЫМ
ФЕРРОМАГНЕТИКОМ

ПРЕПРИНТ 80-160



Новосибирск

ЧИСЛЕННЫЙ РАСЧЕТ СТАЦИОНАРНЫХ ПОЛЕЙ
С НЕЛИНЕЙНЫМ ФЕРРОМАГНЕТИКОМ

В.Е.Теряев

А Н Н О Т А Ц И Я

Рассмотрена методика расчета магнитного поля в аксиально-симметричных системах с железом. Использован метод вторичных источников. Нелинейность кривой намагничивания учитывается разбиением объема железа на кусочно-однородные элементы. По этой методике создана расчетная программа. Точность расчета полей в тестовых задачах достигает $2 \cdot 10^{-3}$.

ЧИСЛЕННЫЙ РАСЧЕТ СТАЦИОНАРНЫХ ПОЛЕЙ
С НЕЛИНЕЙНЫМ ФЕРРОМАГНЕТИКОМ

В.Е.Теряев

1. Метод вторичных источников.

Различные методы расчета магнитных полей с железом при дискретизации требуют покрывать рассматриваемую область сеткой. В интегральном прямом методе сетка строится только в области занятой железом [1]. В описанном ниже интегральном методе вторичных источников сеткой при

$M = \text{const}$ достаточно покрыть лишь поверхность железа и, следовательно, при том же числе дискретных элементов иметь их более мелкими, получая лучшую точность. Однако, для систем с насыщенным железом и данный метод требует разбиения области железа на элементы, что снижает его преимущества. В любом случае различные методы расчета дополняют друг друга и имеют оптимальные области применения.

Метод вторичных источников основан на замещении границы реального магнитопровода модельной поверхностью с линейной плотностью тока σ , где σ ищется из условия того, чтобы поля в модели соответствовали полям в реальной системе [2]. Наша задача - расчет аксиально-симметричных полей. Рассмотрим касательные к поверхности раздела компоненты полей слева H_L , B_L и справа H_R , B_R . Поверхность разделяет области с разными магнитными проницаемостями M_L и M_R , рис.1. По закону полного тока $H_R = H'' - \sigma/2$, $H_L = H'' + \sigma/2$, где $H'' = \int \sigma d\Omega + H_{B_H}$ - суммарное поле на границе от всех элементов с поверхностным током и от внешних витков с током, рис.2. В соответствии с тем, что в реальной системе $B_L/M_L = B_R/M_R$, потребуем, чтобы и в модели $H_L/M_L = H_R/M_R$. Тогда найдем:

$$\sigma = 2 \frac{M_R - M_L}{M_R + M_L} \left(\int \sigma d\Omega + H_{B_H} \right). \quad (1)$$

2. Расчетная модель.

Для разрешения интегрального уравнения (1) относительно источников \mathcal{B} принята следующая дискретная модель. Линия раздела областей с разными μ разбивается на N направленных элементов. Плотность тока в пределах каждого элемента считается постоянной. Тогда вместо (1) получим систему линейных уравнений.

$$D_i \sum_{j=1}^N G_{ij} - G_i = - D_i \cdot H_{BH,i}, \quad i = 1, 2, \dots, N, \quad (2)$$

или в матричном виде $(D \cdot G - I)G = -D \cdot H_{BH}$.

Здесь: $D_i = 2 \frac{\mu_{ni} - \mu_{li}}{\mu_{ni} + \mu_{li}}$; I - единичная матрица;

$$G_{ij} = G_{zij} \cdot \cos\varphi_{zi} + G_{r_{ij}} \cdot \cos\varphi_{zi}, \quad i \neq j;$$

$$G_{z_{ij}} = \frac{1}{2\pi} \int_{l_j} g_{z_{ij}} dl_j;$$

$$g_{z_{ij}} = \frac{\Delta Z_{ij}}{R_i \sqrt{(R_j + R_i)^2 + \Delta Z_{ij}^2}} \left[-K(b) + \frac{R_j^2 + R_i^2 + \Delta Z_{ij}^2}{(R_j - R_i)^2 + \Delta Z_{ij}^2} E(b) \right];$$

$$g_{r_{ij}} = \frac{1}{\sqrt{(R_j + R_i)^2 + \Delta Z_{ij}^2}} \left[K(b) + \frac{R_j^2 - R_i^2 - \Delta Z_{ij}^2}{(R_j - R_i)^2 + \Delta Z_{ij}^2} E(b) \right];$$

$$b = 1 - \alpha^2; \quad \alpha = \frac{4R_j R_i}{(R_j + R_i)^2 + \Delta Z_{ij}^2}; \quad \Delta Z_{ij} = z_i - z_j;$$

$$H_{BH,i} = \frac{1}{2\pi} \sum_K J_K (g_{z_{ik}} \cdot \cos\varphi_{zi} + g_{r_{ik}} \cdot \cos\varphi_{zi});$$

Обозначения следующие:

G_{ij} - касательная компонента поля в середине i -го участка от j -го элемента с единичной плотностью тока;

$G_{z_{ij}}$ - R и Z компоненты полей в середине i -го элемента

$\cos\varphi_{zi}, \cos\varphi_{zi}$ - направляющие косинусы i -го элемента;

z_i, R_i - координаты середины i -го элемента;

z_j, R_j - текущие координаты j -го элемента;

l_j - длина j -го элемента;

$g_{z_{ij}}/2\pi$ - Z и R компоненты поля витка с единичным током;

$K(b), E(b)$ - эллиптические интегралы 1-го и 2-го рода;

$H_{BH,i}$ - касательная компонента поля внешних витков с током

J_K - ток K -го витка.

3. Диагональные элементы

Точность решения системы (2) зависит в большой степени от правильного нахождения диагональных элементов

G_{ii} , а они находятся интегрированием функции, содержащей особенность логарифмического типа. Аналогичная проблема возникает в электростатической задаче [3]. Формула для нахождения диагональных элементов имеет вид:

$$G_{ii} = \frac{\cos\varphi_{zi}}{2\pi} \left\{ \int_{-l_i/2}^{l_i/2} \left[C \cdot P(b) - F \cdot E(b) + \frac{l_i A}{4R_i} (C \cdot Q(b) - \frac{1}{4R_i}) \ln b \right] db - \frac{l_i}{2R_i} \left(\ln \frac{l_i}{2} - 1 \right) \right\}. \quad (3)$$

Здесь:

$$C = R/R_i \sqrt{A}; \quad A = (R + R_i)^2 + (Z - Z_i)^2;$$

$$F = \frac{1}{\sqrt{A}} \left\{ \frac{\cos\varphi_{zi}}{R_i} \left[R \cdot \cos\varphi_{zi} + (Z - Z_i) \cdot \cos\varphi_{zi} \right] + \cos^2\varphi_{zi} \right\};$$

$$K(b) = P(b) - Q(b) \ln b; \quad b = \frac{(Z - Z_i)^2 + (R - R_i)^2}{A}.$$

Обозначения:

R, Z - текущие координаты элемента;
 $P(h), Q(h)$ - полиномы [4] аппроксимирующие $K(h)$.

Остальные обозначения те же, что и выше.

Для интегрирования (3) выбрана 20-ти точечная квадратурная формула Гаусса.

4. Насыщенный ферромагнетик

Нелинейность кривой намагничивания приводит к появлению $\text{grad } \mu(H)$ в объеме материала. В методе вторичных источников это учитывается введением объемных токов [2]. Но если считать среду кусочно-однородной по μ , то остается в силе выше рассмотренная модель с поверхностными токами, помещенными на границы раздела областей с разными $\mu(H)$. Приемлемая точность расчета поля может быть достигнута достаточно мелким разбиением объема материала на однородные области. Процесс нахождения источников \mathbf{B} - итерационный, причем M_L и M_R зависят от среднего H найденного для правой и левой области на предыдущей итерации.

5. Расчетная программа

Согласно описанной методике разработана программа на фортране для ЭВМ Одра 1305. Программа рассчитывает величины поверхностных токов \mathbf{B} для аксиально-симметричных ферромагнитных систем и заносит их вместе с координатами соответствующих поверхностных элементов в назначенный файл, откуда эти данные могут быть взяты программами для построения картин силовых линий, расчета траекторий заряженных частиц и т.д.

Исходные данные следующие:

1) Описание геометрии железа. Допускается задание отрез-

ков прямых и дуг в виде координат начала, конца отрезка, радиуса дуги.

- 2) Количество элементов разбиения отрезка.
- 3) Топология - номер правой и левой, относительно отрезка, области.
- 4) Координаты и размер внешних колец с током.
- 5) Координаты отрезков, представляющих собой сечение внешних токовых поверхностей.
- 6) Внешнее осевое однородное поле
- 7) Число итераций, начальная магнитная проницаемость, кривая намагничивания в виде таблицы $B(H)$.

Программа допускает $N = 200$ суммарное число элементов разбиения. Система линейных уравнений решается методом оптимальных исключений, требующем машинной памяти $N^2/4$. Подпрограмма решения системы составлена П.Л.Храпкиным.

6. Тесты и точность.

Программа проверялась на тестах - шар, эллипсоид, сфера из железа с $\mu = 1000$ в однородном магнитном поле B_{z0} .

1. Внутри шара поле однородно $B_z = B_{z0} \frac{3\mu}{2\mu + 1}$, $B_z = 0$. При $N = 40$, программа дает однородность поля с точностью 10^{-6} . Ошибка в определении B_z $+ 1.5\%$. Радиальная компонента отлична от нуля на величину $10^{-5} \cdot B_z$. Время решения ~ 1 мин. Время на расчет поля в одной точке ~ 0.5 сек.

2. Внутри шара при $N = 196$. Однородность 10^{-6} , ошибка $B_z + 0.2\%$, $B_z = 10^{-6} \cdot B_z$. Время решения ~ 12 мин. Время на расчет поля в одной точке ~ 1 сек

3. Внутри эллипсоида поле должно быть однородным, a $B_z = 0$. При $N = 46$ и $a/b = 10$ однородность поля 10^{-4} , ошибка $+ 1.5\%$ $B_z = 10^{-4} \cdot B_z$.

4. Внутри эллипсоида $a/b = 5$ при $N = 46$, однородность 10^{-4} , ошибка - 1%, $B_z = 10^{-4} \cdot B_{z0}$.

5. Внутри толстостенной сферы $R_1/R_2 = 2$, $\mu = 1000$, коэффициент экранирования должен быть $2 \cdot 10^{-3}$. При $N = 180$, программа дает $B_z/B_{z0} = 2 \cdot 10^{-2}$, рис.3.

Для реальной кривой намагничивания (сталь 3) рассматривалась задача - конус в сильном однородном поле, рис.4. Сходимость итерационного процесса по величине поля показана на рис.5.

Описанная программа использовалась при проектировании магнитных отклоняющих систем. Рассматривалось два варианта систем. Один - в виде четырёх отклоняющей системы, предложенной в [5], рис.7.

Автор выражает благодарность С.Н.Морозову за постановку задачи и полезные обсуждения.

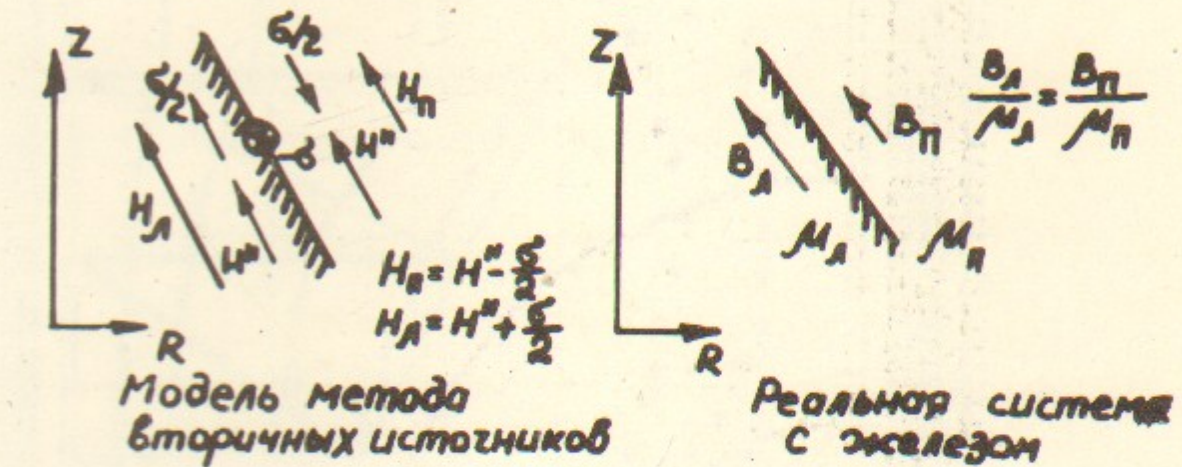


Рис.1

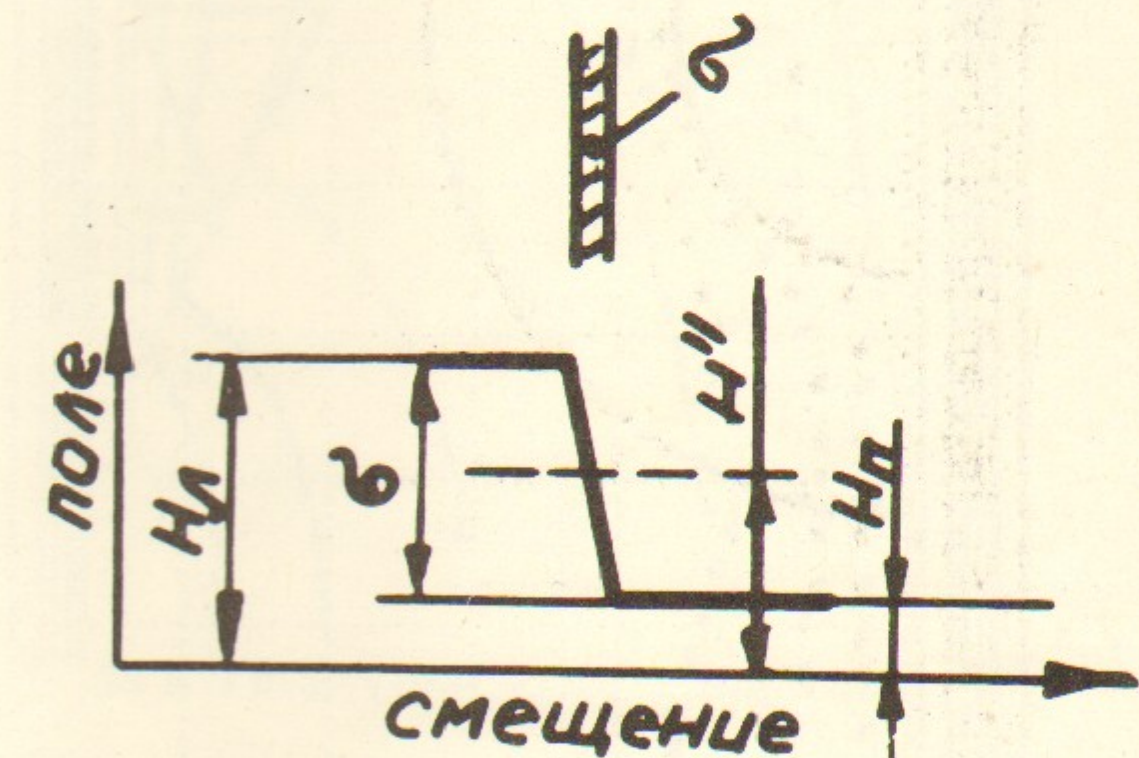


Рис.2.

Изменение полей при пересечении токовой поверхности.

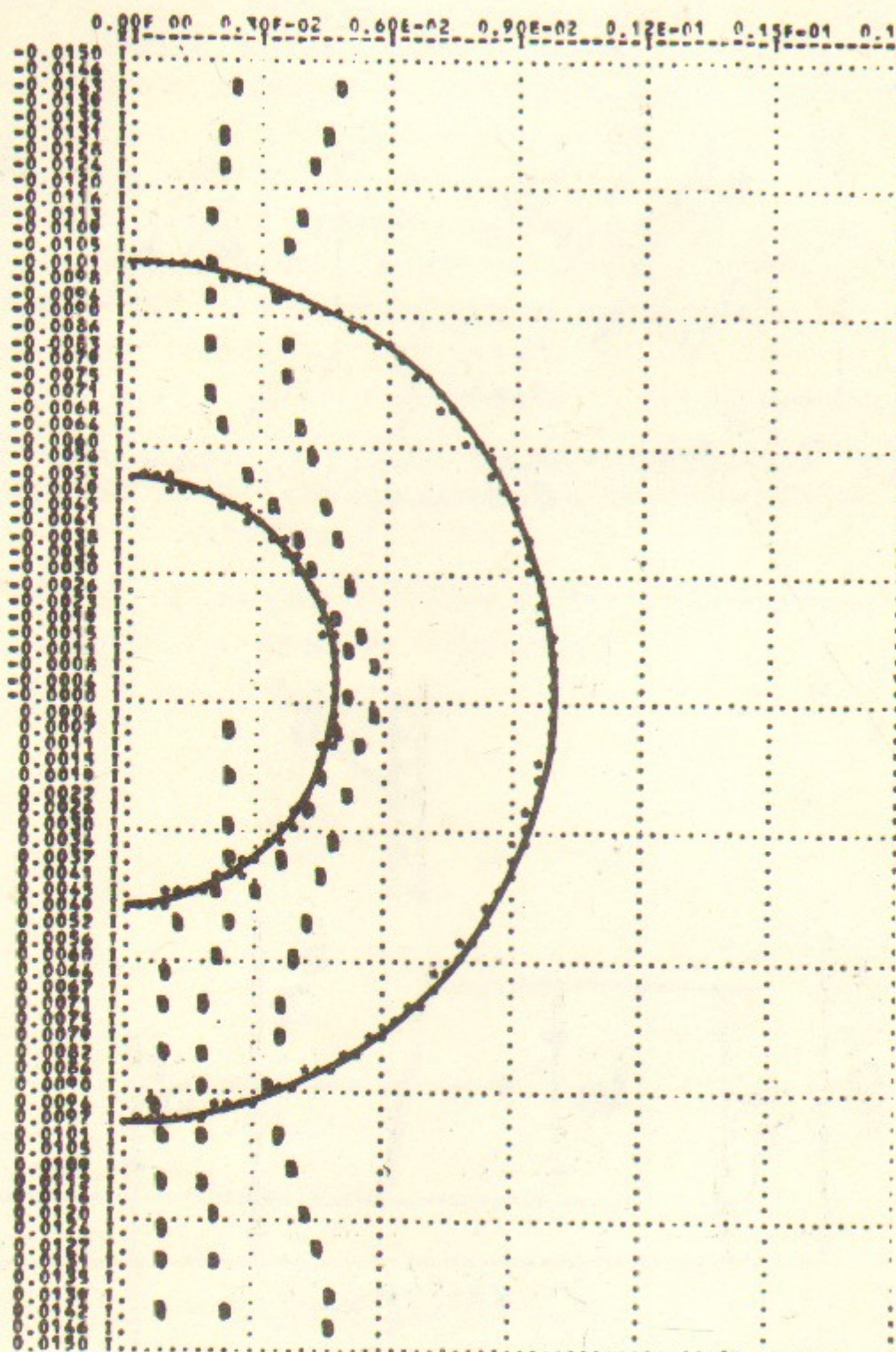


Рис.3. Сфера в однородном магнитном поле.
Силовые линии поля.

- 10 -

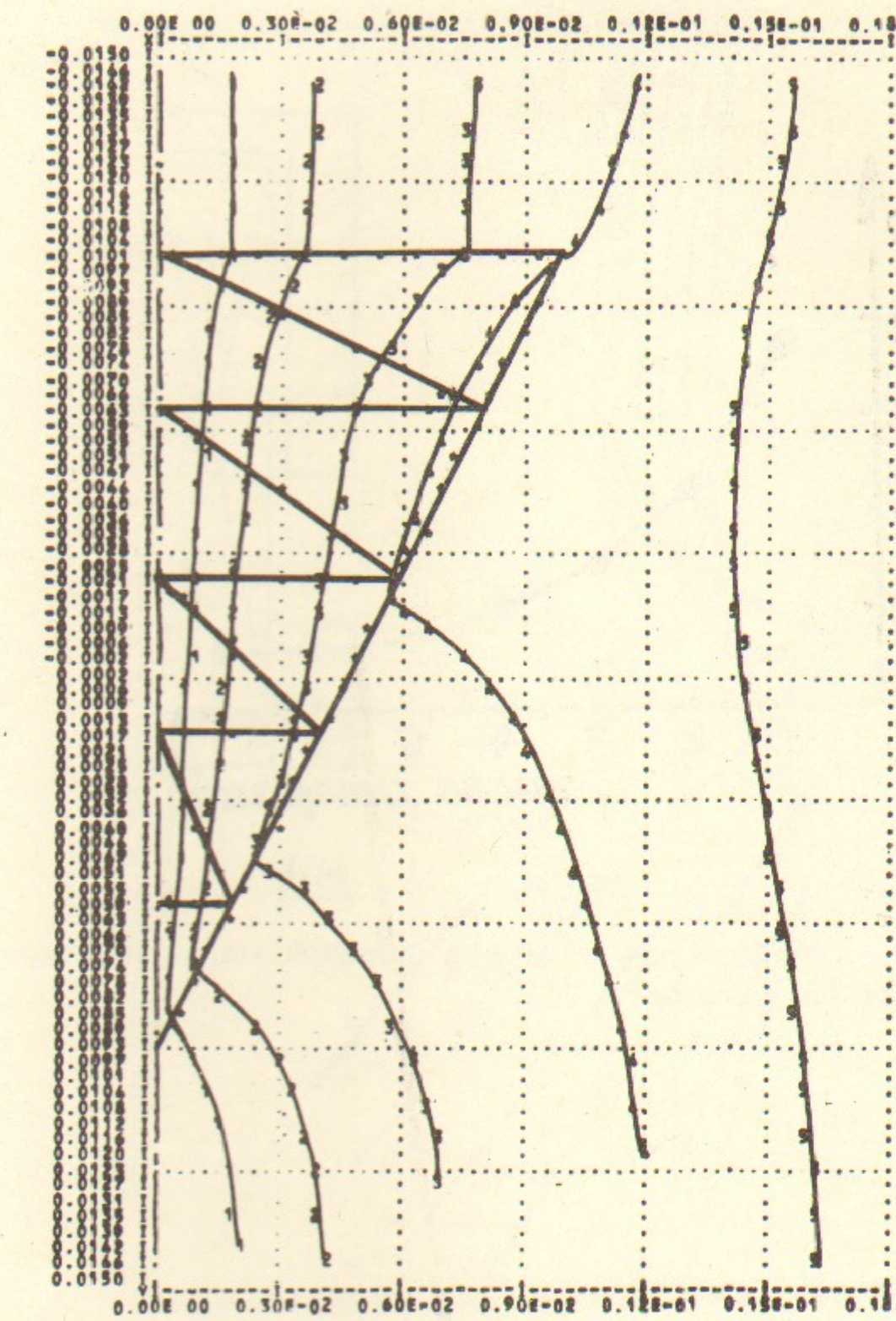


Рис.4. Конус в сильном однородном магнитном поле.
Силовые линии. Показаны элементы разбиения.

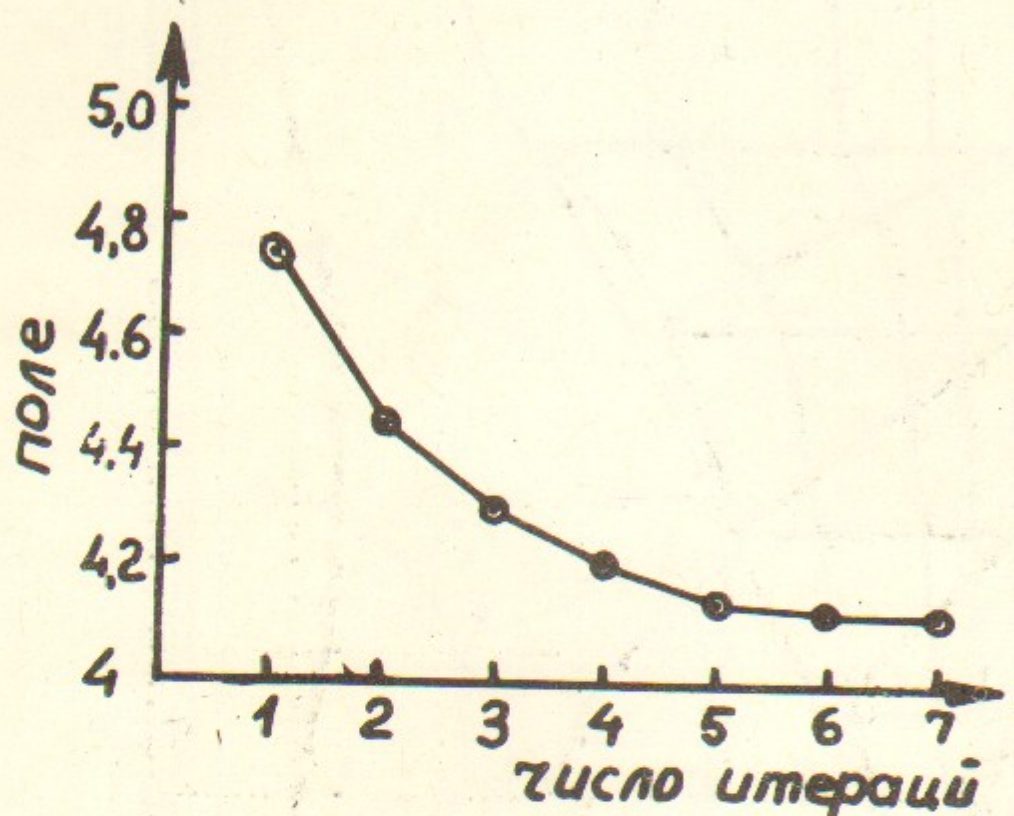


Рис.5.

Сходимость итераций для конуса в сильном магнитном поле.
Коэффициент релаксации 0,75.

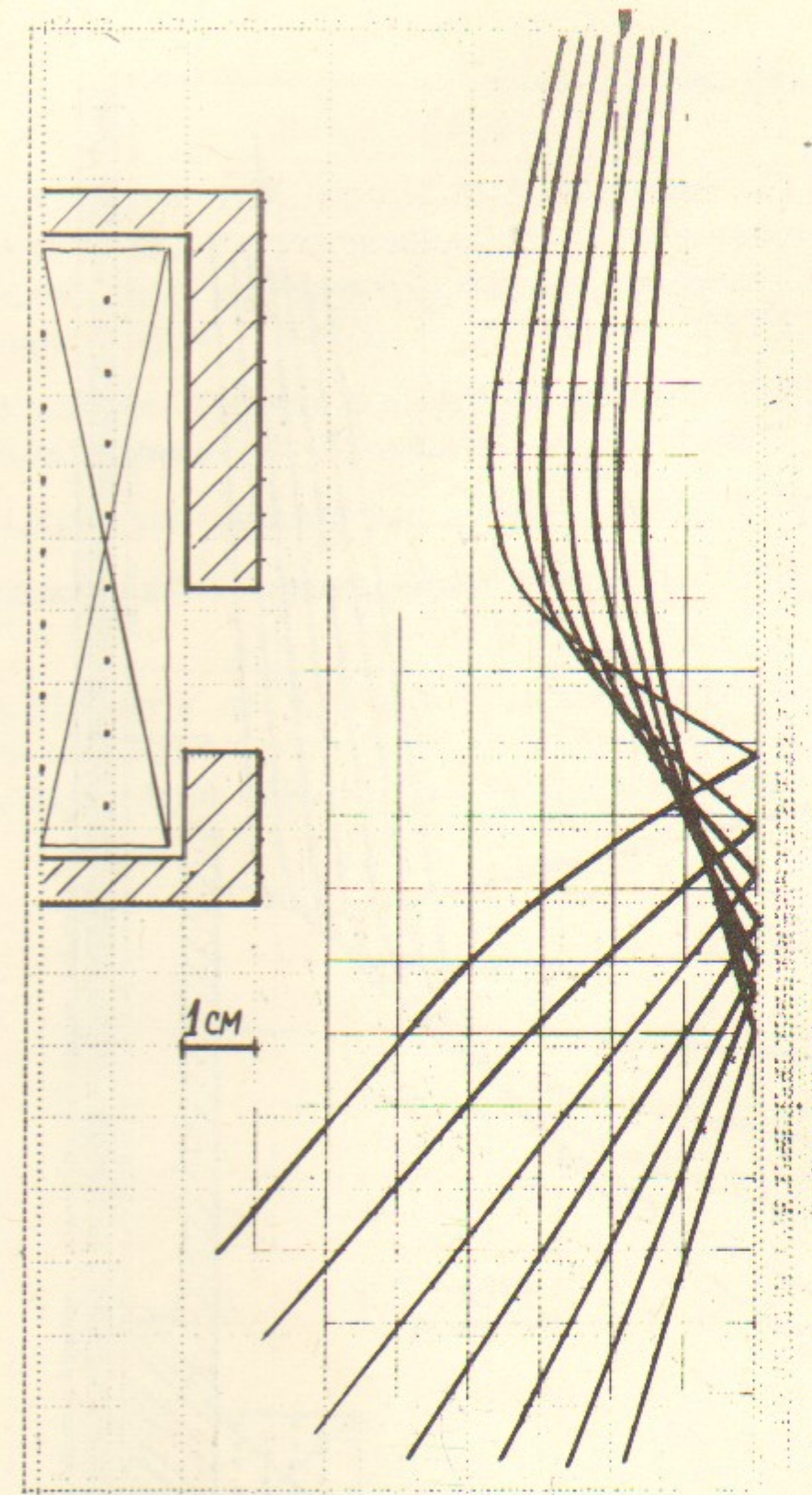


Рис.6. Траектории электронов в **короткофокусной** магнитной линзе. Отклоняющая система.

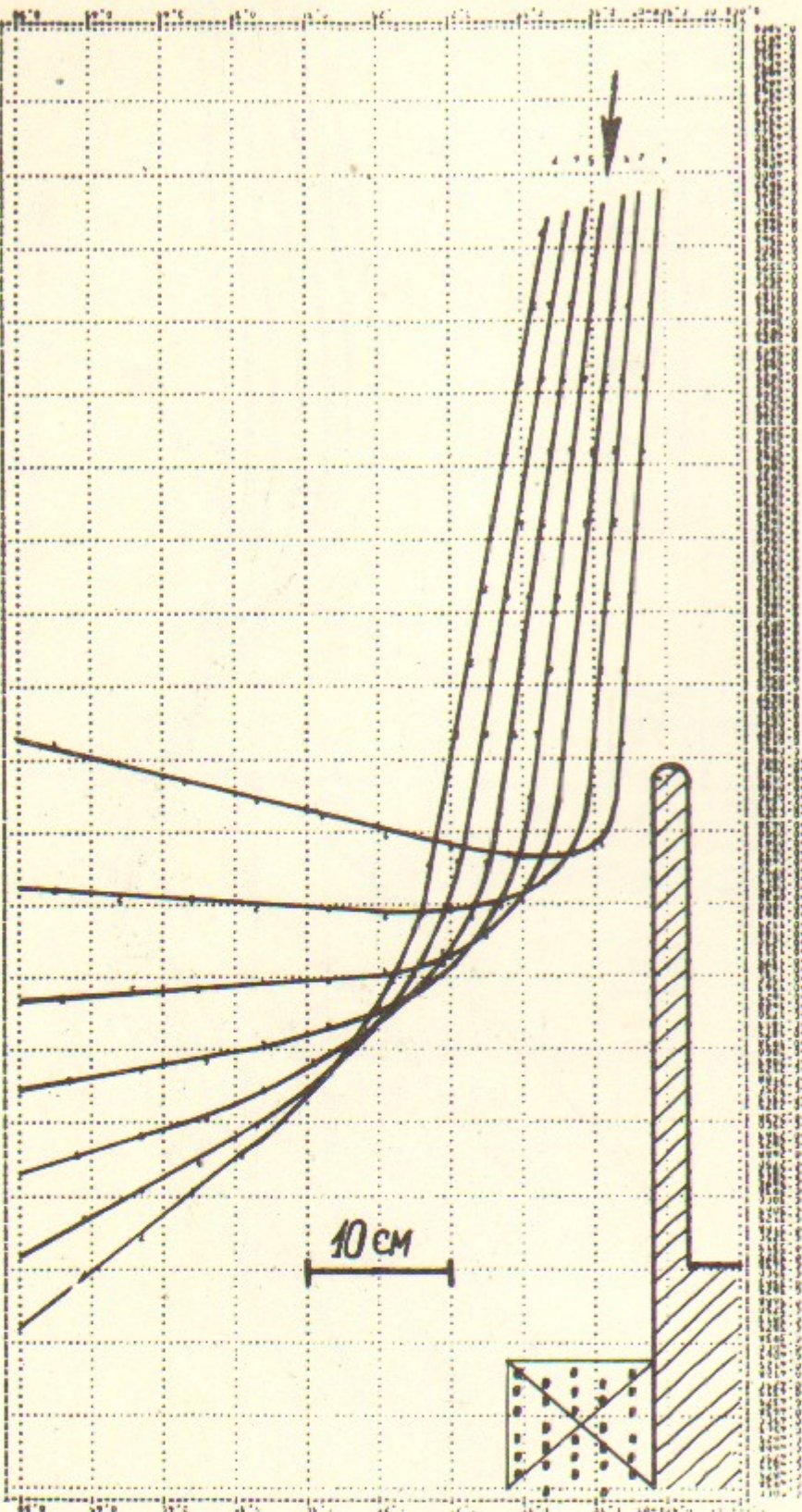


Рис. 7. Траектории электронов в магнитной штыревой отклоняющей системе.

Л и т е р а т у р а

1. А.Н.Алешаев, В.А.Дзюба, М.М.Карлинер, П.Б.Лысянский, Б.М.Фомель. Регуляризация прямого метода вычисления стационарных магнитных полей в системах с железом. Препринт ИЯФ 79-95, Новосибирск, 1975.
2. О.В.Тозони. Расчет электромагнитных полей на вычислительных машинах. "Техника", Киев, 1967.
3. П.Л.Храпкин. Дипломный проект. ИЯФ, 1975.
4. Справочник по специальным функциям. "Наука", Москва, 1979.
5. Г.И.Будкер и др. Гирокон - мощный СВЧ генератор с высоким КПД. Препринт ИЯФ 78-9, Новосибирск, 1978.